

```
In [1]: import ase, ase.io, ase.io.vasp
import numpy as np
import random
import json
import os, os.path
```

```
In [2]: from onlatt import *
```

Использование LRP потенциала в методе Монте-Карло на примере магнитной экиатомной системы VCoNi

1. Загрузим готовый потенциал

```
In [3]: with open('v_co_ni_lrp.json') as f:
    pot_orig = PotLRP.from_json(f.read())
    pot_orig
```

```
Out[3]: PotLRP(13 neighbors, V-Co-Ni)
```

2. Восстановим полную "таблицу" потенциала

```
In [4]: #convert to full tensor to make calculations fast
pot = pot_orig.to_full_tensor()
```

3. Зададим конфигурацию с которой будет стартовать наша Монте-Карло симуляция

```
In [5]: a=3.643
lat = [[a,0.0,0.0],[0.0,a,0.0],[0.0,0.0,a]]
shifts = [[0.0,0.0,0.0],[a/2,a/2,0.0],[a/2,0.0,a/2],[0.0,a/2,a/2]]
shape = [6,6,6]
lat_obj = Lattice(lat, shifts)
cfg = Cfg(lat_obj, shape)
```

```
In [6]: np.random.seed(12345)
types = [PTABLE_ELEMENTS.index(s) for s in ['V','Co','Ni']]
elems = [types[0] for i in range(cfg.n_sites//3)] + \
        [types[1] for i in range((cfg.n_sites+1)//3)] + \
        [types[2] for i in range((cfg.n_sites+1)//3)]
cfg.atomic_numbers = np.random.permutation(elems)
```

```
In [7]: cfg.lattice.neighbors
```

```
Out[7]: array([[ -1.8215, -1.8215,  0.    ],
        [ -1.8215,  0.    , -1.8215],
        [ -1.8215,  0.    ,  1.8215],
        [ -1.8215,  1.8215,  0.    ],
        [  0.    , -1.8215, -1.8215],
        [  0.    , -1.8215,  1.8215],
        [  0.    ,  0.    ,  0.    ],
        [  0.    ,  1.8215, -1.8215],
        [  0.    ,  1.8215,  1.8215],
        [  1.8215, -1.8215,  0.    ],
        [  1.8215,  0.    , -1.8215],
        [  1.8215,  0.    ,  1.8215],
        [  1.8215,  1.8215,  0.    ]])
```

4. Задаем параметры и тим симуляции СМС = Канонический Монте-Карло, потенциал и стартовую конфигурацию

```
In [8]: #creat cmc simulation
CMC_Simulation()
cmc = CMC_Simulation(pot,cfg)
cmc
```

```
Out[8]: CMC_Simulation(PotFullTensor(13 neighbors, V-Co-Ni), Cfg(lattice = Lattice(cell = [[3.643, 0.0, 0.0], [0.0, 3.643, 0.0], [0.0, 0.0, 3.643]], shifts = [[0.0, 0.0, 0.0], [1.8215, 1.8215, 0.0], [1.8215, 0.0, 1.8215], [0.0, 1.8215, 1.8215]]), shape = [6, 6, 6]))
```

```
In [9]: cmc.cfg.atomic_numbers
```

```
Out[9]: array([27, 27, 27, 27, 23, 27, 23, 27, 27, 23, 28, 27, 28, 23, 23, 27, 28,
              23, 23, 27, 23, 23, 27, 28, 28, 23, 27, 27, 28, 28, 27, 23, 28, 23,
              28, 27, 28, 27, 23, 28, 23, 28, 28, 28, 23, 28, 27, 28, 27, 23, 23,
              28, 28, 27, 23, 28, 23, 27, 28, 23, 27, 27, 28, 27, 27, 23, 28, 23,
              28, 27, 28, 23, 23, 28, 28, 28, 23, 23, 27, 28, 23, 27, 23, 23, 28,
              23, 28, 27, 28, 27, 28, 23, 23, 28, 28, 27, 28, 23, 27, 28, 23, 23,
              27, 23, 27, 23, 28, 23, 28, 28, 28, 28, 27, 23, 27, 27, 28, 23, 23,
              28, 23, 28, 27, 23, 27, 28, 23, 23, 23, 23, 23, 23, 27, 27, 23, 28,
              27, 28, 23, 23, 27, 27, 23, 28, 23, 27, 27, 23, 27, 27, 23, 28, 23,
              27, 27, 23, 28, 27, 28, 23, 23, 28, 23, 27, 28, 23, 23, 28, 27, 23,
              27, 23, 28, 27, 27, 27, 28, 27, 28, 23, 23, 27, 27, 27, 23, 27, 28,
              27, 23, 28, 27, 28, 28, 27, 28, 23, 23, 27, 27, 27, 23, 27, 28,
              27, 23, 27, 28, 27, 28, 28, 27, 28, 28, 23, 23, 23, 28, 28, 23, 27,
              27, 27, 27, 28, 28, 28, 23, 23, 23, 23, 27, 27, 27, 27, 28, 28, 28,
              28, 23, 28, 28, 27, 23, 28, 28, 27, 27, 27, 27, 23, 28, 28, 28, 23,
              28, 23, 27, 28, 28, 27, 28, 28, 27, 23, 28, 23, 27, 28, 28, 27, 23,
              23, 28, 28, 27, 28, 28, 23, 23, 23, 23, 27, 28, 28, 28, 28, 23, 28,
              28, 28, 23, 27, 28, 28, 28, 28, 23, 27, 23, 27, 28, 28, 28, 27, 27,
              27, 23, 28, 28, 28, 27, 27, 27, 27, 28, 27, 23, 23, 27, 23, 23, 27,
              23, 23, 27, 28, 28, 27, 28, 27, 23, 28, 28, 28, 23, 28, 27, 27, 27,
              28, 27, 28, 28, 27, 27, 23, 27, 23, 23, 23, 23, 23, 28, 27, 27, 23,
              23, 23, 23, 23, 23, 27, 23, 28, 23, 28, 23, 23, 27, 28, 23, 27, 27,
              27, 23, 23, 28, 23, 23, 27, 23, 28, 28, 27, 23, 23, 23, 27, 23, 23,
              28, 27, 28, 28, 27, 27, 23, 27, 23, 23, 23, 23, 23, 28, 27, 27, 23,
              23, 23, 23, 23, 23, 28, 23, 28, 23, 23, 28, 23, 27, 28, 23, 27, 23,
              23, 23, 23, 23, 23, 28, 23, 28, 23, 23, 28, 23, 27, 28, 23, 23, 28,
              27, 27, 23, 28, 27, 27, 27, 27, 27, 23, 23, 27, 27], dtype=int8)
```

```
In [10]: cmc.energy() # энергия стартовой конфигурации
```

```
Out[10]: -6238.176683232209
```

5. Оценим как быстро проходит расчет

```
In [11]: import time
t_start = time.perf_counter()
cmc.Run(n_iter = 1000000, temperature = 100000.0)
print('Million iterations took %f seconds'%(time.perf_counter() - t_start))

Million iterations took 1.384245 seconds
```

```
In [12]: [cmc.accepted_exchanges(),cmc.attempted_exchanges()]
```

```
Out[12]: [992637, 1000000]
```

6. Параметр ближнего порядка Воррена-Коули (Warren–Cowley short-range order parameters).

$$\alpha_{ij} = 1 - \frac{p_{ij}}{c_i c_j}$$

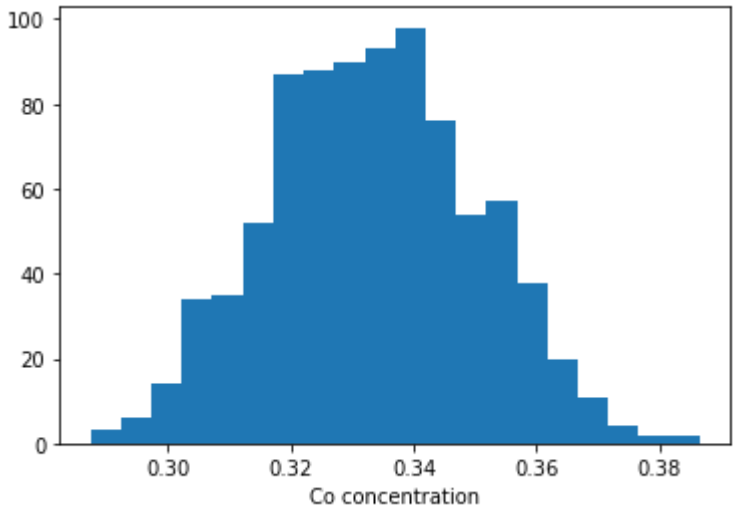
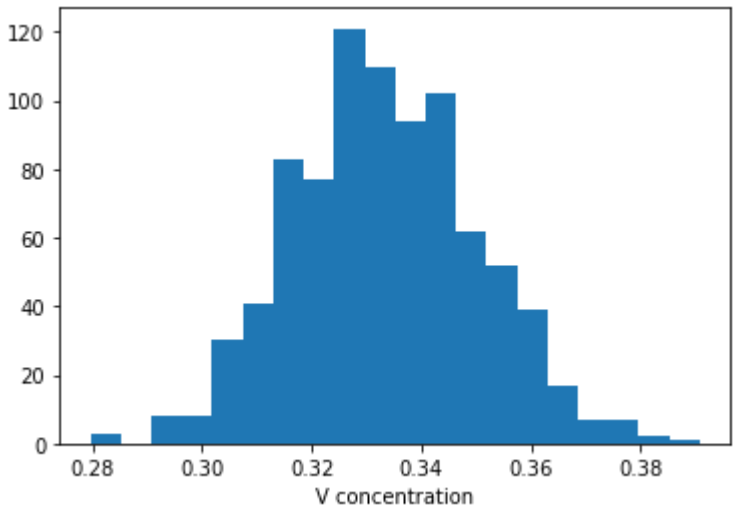
```
In [13]: cmc.sro()
```

```
Out[13]: array([[ 0.01001372, -0.00696841, -0.00304531],
               [-0.00696841,  0.00632729,  0.00064112],
               [-0.00304531,  0.00064112,  0.00240419]])
```

7. "Занятость" узлов (site occupancy) кристаллической решетки

```
In [14]: import matplotlib.pyplot as plt
v_occup_prob = cmc.occup_prob()[0] # occupation probability of V
plt.hist(v_occup_prob, bins = 20)
plt.xlabel('V concentration')
plt.show()
co_occup_prob = cmc.occup_prob()[1] # occupation probability of Co
plt.hist(co_occup_prob, bins = 20)
```

```
plt.xlabel('Co concentration')
plt.show()
```



```
In [15]: cmc.reset_statistics() # сброс статистики расчетов
```

8. Запустим низкотемпературный расчет и увидим, как система стремится к упорядочению

```
In [16]: cmc.Run(n_iter = 4000000, temperature = 100.0)
```

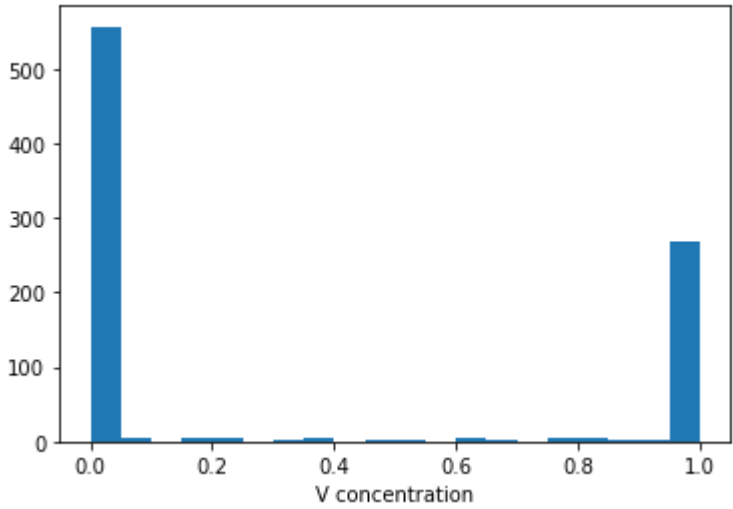
```
In [17]: [cmc.accepted_exchanges(), cmc.attempted_exchanges()]
```

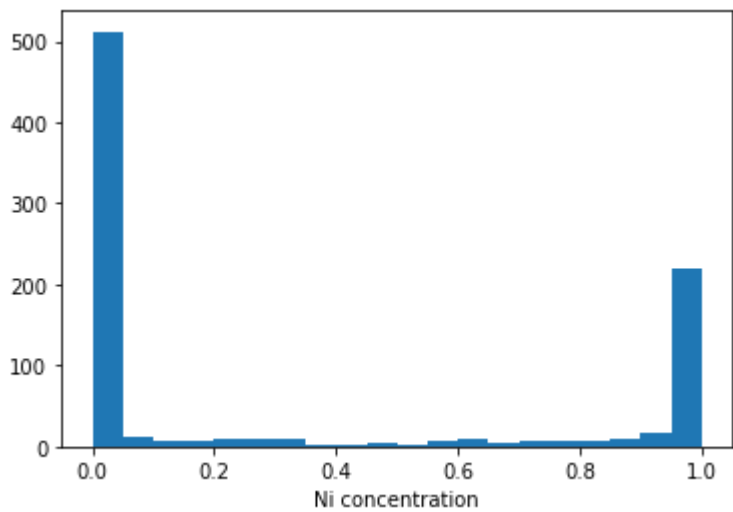
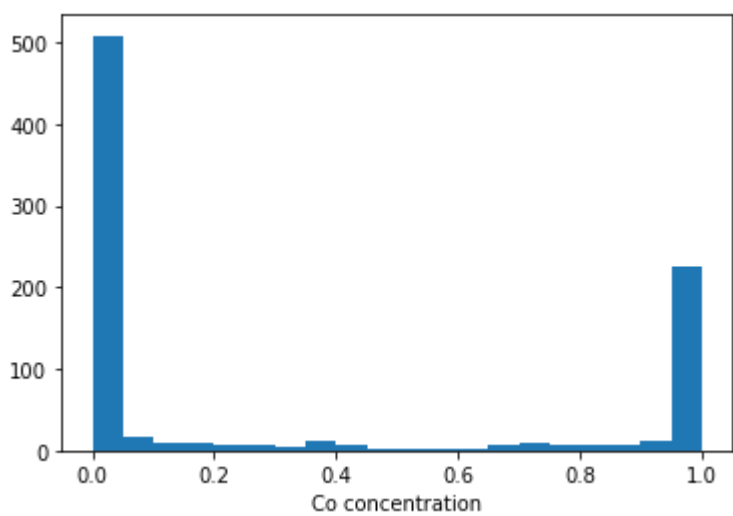
```
Out[17]: [1315780, 4000000]
```

```
In [18]: cmc.sro()
```

```
Out[18]: array([[ 0.42861363, -0.2169451 , -0.21166853],
               [-0.2169451 , -0.18111339,  0.39805849],
               [-0.21166853,  0.39805849, -0.18638995]])
```

```
In [19]: import matplotlib.pyplot as plt
v_occup_prob = cmc.occup_prob()[0] # occupation probability of V
plt.hist(v_occup_prob, bins = 20)
plt.xlabel('V concentration')
plt.show()
co_occup_prob = cmc.occup_prob()[1] # occupation probability of V
plt.hist(co_occup_prob, bins = 20)
plt.xlabel('Co concentration')
plt.show()
ni_occup_prob = cmc.occup_prob()[2] # occupation probability of V
plt.hist(ni_occup_prob, bins = 20)
plt.xlabel('Ni concentration')
plt.show()
```





```
In [20]: cmc.energy()
```

```
Out[20]: -6322.035602648212
```

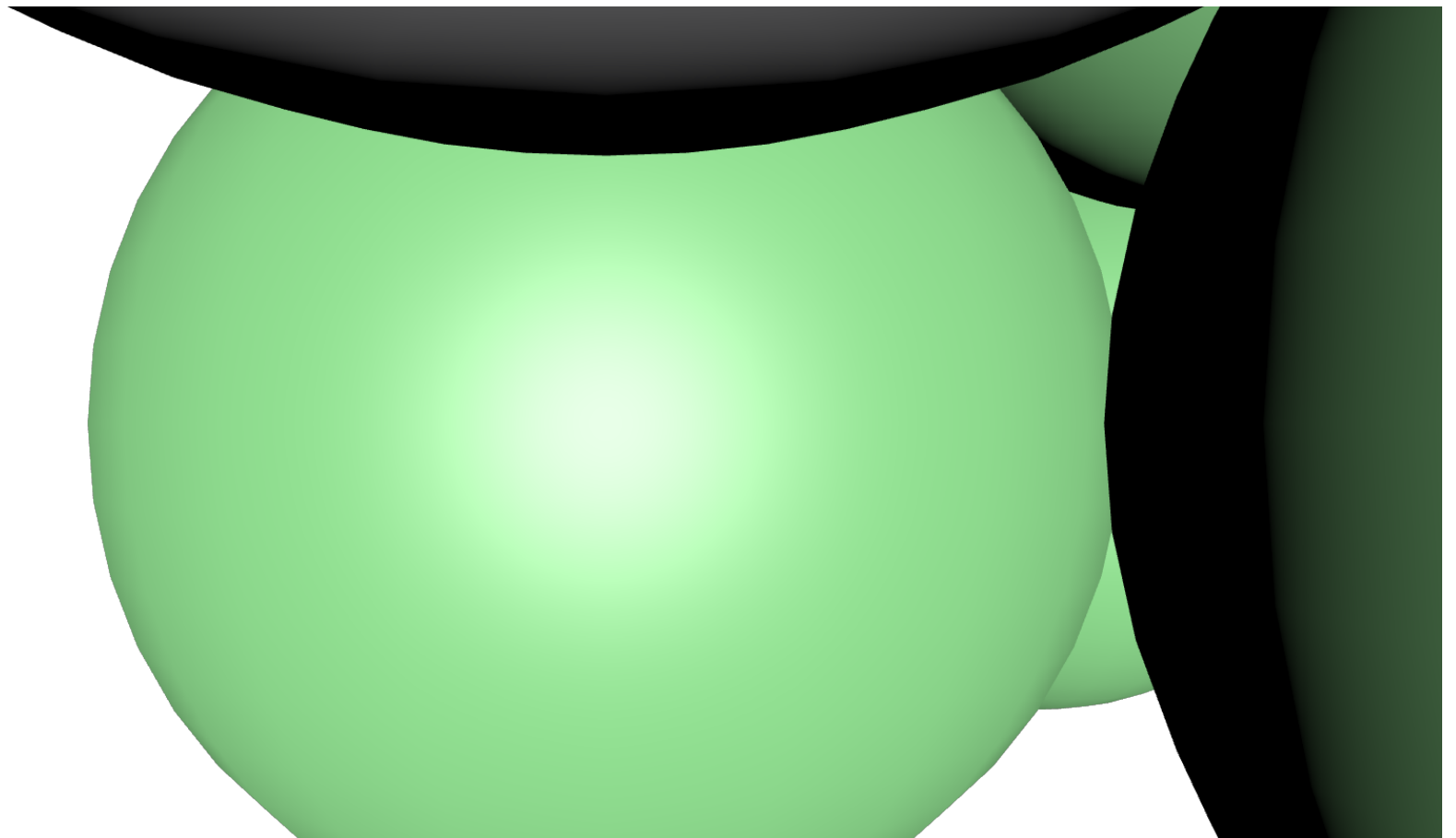
Стоит отметить, что при создании новой симуляции энергия конфигурации целиком пересчитывается заново, в отличие от расчета энергии в ходе симуляции, где пересчитывается локальный вклад энергии окружения меняющихся атомов

```
In [21]: cmc2 = CMC_Simulation(pot,cmc.cfg)
cmc2.energy() - cmc.energy()
```

```
Out[21]: -1.4551915228366852e-11
```

```
In [22]: from ase.visualize import view
view(cmc.cfg.to_ase(),viewer='x3d')
```

```
Out[22]:
```



```
In [23]: cmc = CMC_Simulation(pot,cmf)
cmc.Run(n_iter = 1000000, temperature = 100.0)
cmc.energy_mean()-cmc.energy()
```

```
Out[23]: 1.5957024813942553
```

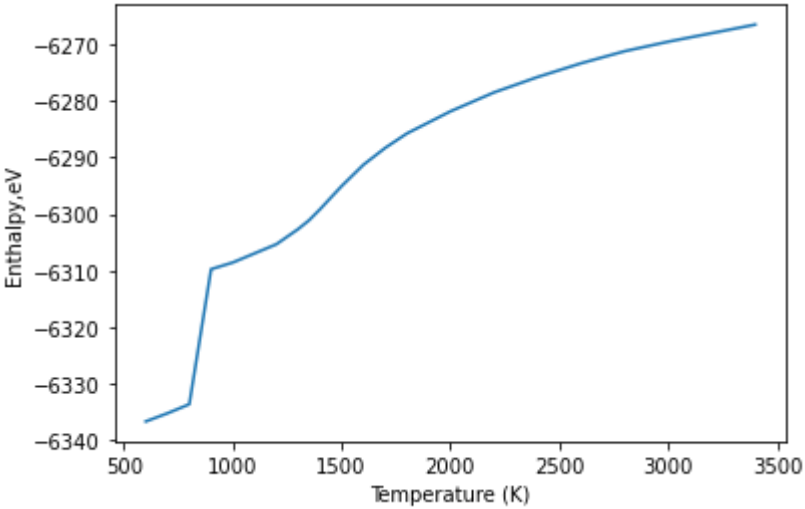
9. Проведем большой расчет с понижением температуры для наблюдения фазового перехода порядок-беспорядок, а именно solid solution -> M3V

```
In [24]: temp_range = [3400,3000,2800,2600,2400,2200,2000,1800,1700,1600,1500,1450,1400,1350,1300,1200,1000,900,800,700,600]
```

```
In [25]: res = []
sro_vv = []
sro_vco = []
sro_vni = []
en_res = []
cmc = CMC_Simulation(pot,cfg)
for T in temp_range:
    n_it = 4000000
    if T < 1000:
        n_it*=10
    cmc.Run(n_iter = n_it, temperature = T) # отжиг (burn-in, annealing) (чтобы данные всегда соответствовали текущей
    cmc.reset_statistics()
    cmc.Run(n_iter = n_it, temperature = T)
    res.append(cmc.energy_var() / ( (T * 8.617333262e-5)**2 * cfg.n_sites))
    sro_vv.append(cmc.sro()[0][0])
    sro_vco.append(cmc.sro()[0][1])
    sro_vni.append(cmc.sro()[0][2])
    en_res.append(cmc.energy_mean())
```

10. Рассмотрим зависимость энтальпии от температуры

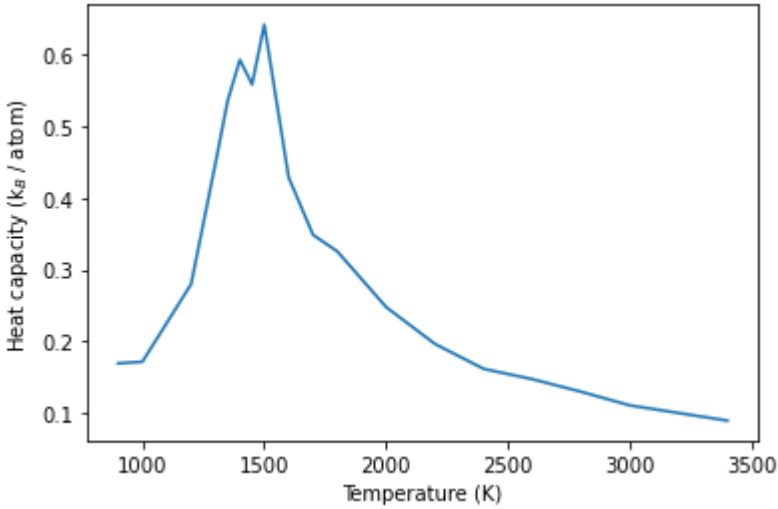
```
In [26]: plt.plot(temp_range,en_res)
plt.xlabel('Temperature (K)')
plt.ylabel('Enthalpy,eV');
```



11. Зависимость конфигурационной теплоемкости $C_V = \frac{\langle E^2 \rangle - \langle E \rangle^2}{k_B T}$

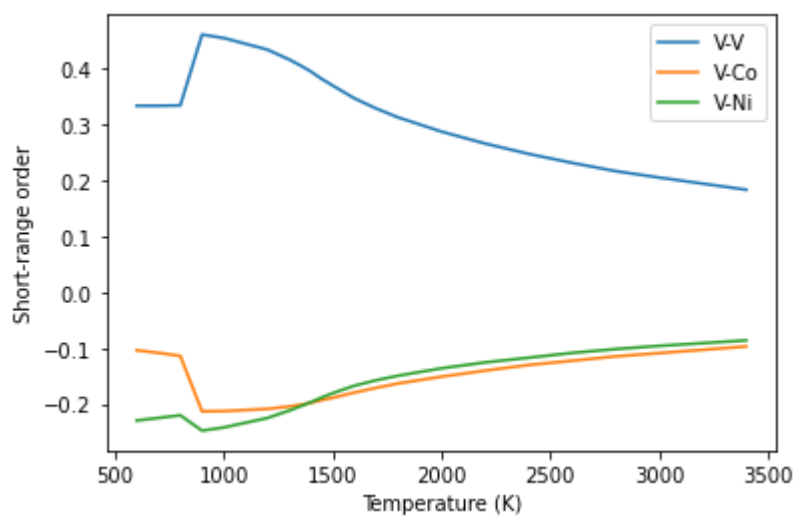
<https://ru.wikipedia.org/wiki/%D0%A1%D1%82%D0%B0%D1%82%D0%B8%D1%81%D1%82%D0%B8%D1%87%D0%B5%D1%81%D0%BA%D0%E>

```
In [27]: import matplotlib.pyplot as plt
plt.plot(temp_range[:-3],res[:-3])
plt.xlabel('Temperature (K)')
plt.ylabel('Heat capacity (kB / atom)');
```



12. Температурная зависимость параметров ближнего порядка Уорена-Коули (Warren–Cowley short-range order parameters) $\alpha = 1 - \frac{p_{ij}}{c_i c_j}$

```
In [28]: plt.plot(temp_range,sro_vv, label = 'V-V')
plt.plot(temp_range,sro_vco, label = 'V-Co')
plt.plot(temp_range,sro_vni, label = 'V-Ni')
plt.legend()
plt.xlabel('Temperature (K)')
plt.ylabel('Short-range order');
```



In []:

In [29]: `view(cmc.cfg.to_ase(),viewer='x3d')`

Out[29]:



Заготовка для домашнего задания

В качестве решения домашнего задания вышлите заполненный jupyter notebook с вашей фамилией в названии файла. Ответы на поставленные ниже вопросы оформите в виде комментариев (Markdown, отдельные ячейки) к коду.

Пример обучения и применения потенциала для системы эквивалентного ОЦК сплава NbMoTaW

1. Задаём BCC решетку и ранг разложения tensor train.

```
In [30]: a = 3.239
stencil = np.array([[-1,-1,-1],[-1,-1,1],[-1,1,-1],[-1,1,1],[0,0,0],
                    [1,-1,-1],[1,-1,1],[1,1,-1],[1,1,1]])*a/2
atom_types = ["Nb", "Mo", "Ta", "W"]
maxrank = 5
pot = PotLRP(stencil, atom_types, maxrank)
rg = PotLRP_Regression(pot)
```

По-хорошему нужно попробовать несколько $\text{maxrank} = \{3,4,5,6,7\}$ и для каждого провести кросс-валидацию, разбив обучающую выборку хотя бы на 10 частей. Но на кластере на данный момент нельзя запустить параллельное обучение. Поэтому мы обойдемся просто примером обучения одного потенциала, заранее зная, что оптимальным в данном случае является $\text{maxrank} = 5$.

2. Ниже происходит считывание обучающей выборки, которая представлена в виде результатов DFT расчетов в программном пакете VASP. OUTCAR файлы расположены в папке NbMoTaW_set и разделены на обучающую и валидационную выборки.

```
In [31]: pure_ens=[0.0,0.0,0.0,0.0]#[-8.9873676,-6.5960688,-5.3582289,0.0]
b = a
unit_lattice = Lattice([[b/2.0,b/2.0,b/2.0],
```

```

                                [b/2.0,b/2.0,-b/2.0],
                                [-b/2.0,b/2.0,b/2.0]])

stopper = 0
# unit_lattice = Lattice([[b,0.0,0.0],
#                           [0.0,b,0.0],
#                           [0.0,0.0,b]])
for what in ['train','valid']:
    mypath = os.path.join('NbMoTaW_set', what)
    curr_set = []
    dirs = [f for f in os.listdir(mypath) if os.path.isfile(os.path.join(mypath, f))]
    print(dirs)
    for f in dirs:
        mypath2 = os.path.join(mypath,f)
        filename = os.path.join(mypath2)
        print(filename)
        ase_struct = ase.io.vasp.read_vasp_out(filename,0)
        ase_en = ase_struct.get_potential_energy()
        Func = rg.AddTrain if what=='train' else rg.AddValid
        cfg = Cfg.from_ase(unit_lattice, ase_struct)
#         print(cfg)
        stopper = 1
#         if stopper == 1:
#             break

    conc=[np.bincount(cfg.atomic_numbers)[41],np.bincount(cfg.atomic_numbers)[42],np.bincount(cfg.atomic_numbers)[
    Func(cfg, ase_en + (conc[0]*pure_ens[0]+conc[1]*pure_ens[1]+conc[2]*pure_ens[2]+conc[3]*pure_ens[3]))

```

```

['OUTCAR_23', 'OUTCAR_2', 'OUTCAR_46', 'OUTCAR_0', 'OUTCAR_51', 'OUTCAR_7', 'OUTCAR_25', 'OUTCAR_5', 'OUTCAR_10', 'OUT
CAR_49', 'OUTCAR_26', 'OUTCAR_24', 'OUTCAR_17', 'OUTCAR_44', 'OUTCAR_54', 'OUTCAR_3', 'OUTCAR_13', 'OUTCAR_1', 'OUTCAR
_11', 'OUTCAR_4', 'OUTCAR_42', 'OUTCAR_45', 'OUTCAR_12', 'OUTCAR_21', 'OUTCAR_48', 'OUTCAR_22', 'OUTCAR_57', 'OUTCAR_5
6', 'OUTCAR_14', 'OUTCAR_16', 'OUTCAR_39', 'OUTCAR_6', 'OUTCAR_53', 'OUTCAR_15', 'OUTCAR_20', 'OUTCAR_40', 'OUTCAR_5
5', 'OUTCAR_50', 'OUTCAR_41', 'OUTCAR_19', 'OUTCAR_43', 'OUTCAR_47']
NbMoTaW_set/train/OUTCAR_23
NbMoTaW_set/train/OUTCAR_2
NbMoTaW_set/train/OUTCAR_46
NbMoTaW_set/train/OUTCAR_0
NbMoTaW_set/train/OUTCAR_51
NbMoTaW_set/train/OUTCAR_7
NbMoTaW_set/train/OUTCAR_25
NbMoTaW_set/train/OUTCAR_5
NbMoTaW_set/train/OUTCAR_10
NbMoTaW_set/train/OUTCAR_49
NbMoTaW_set/train/OUTCAR_26
NbMoTaW_set/train/OUTCAR_24
NbMoTaW_set/train/OUTCAR_17
NbMoTaW_set/train/OUTCAR_44
NbMoTaW_set/train/OUTCAR_54
NbMoTaW_set/train/OUTCAR_3
NbMoTaW_set/train/OUTCAR_13
NbMoTaW_set/train/OUTCAR_1
NbMoTaW_set/train/OUTCAR_11
NbMoTaW_set/train/OUTCAR_4
NbMoTaW_set/train/OUTCAR_42
NbMoTaW_set/train/OUTCAR_45
NbMoTaW_set/train/OUTCAR_12
NbMoTaW_set/train/OUTCAR_21
NbMoTaW_set/train/OUTCAR_48
NbMoTaW_set/train/OUTCAR_22
NbMoTaW_set/train/OUTCAR_57
NbMoTaW_set/train/OUTCAR_56
NbMoTaW_set/train/OUTCAR_14
NbMoTaW_set/train/OUTCAR_16
NbMoTaW_set/train/OUTCAR_39
NbMoTaW_set/train/OUTCAR_6
NbMoTaW_set/train/OUTCAR_53
NbMoTaW_set/train/OUTCAR_15
NbMoTaW_set/train/OUTCAR_20
NbMoTaW_set/train/OUTCAR_40
NbMoTaW_set/train/OUTCAR_55
NbMoTaW_set/train/OUTCAR_50
NbMoTaW_set/train/OUTCAR_41
NbMoTaW_set/train/OUTCAR_19
NbMoTaW_set/train/OUTCAR_43
NbMoTaW_set/train/OUTCAR_47
['OUTCAR_28', 'OUTCAR_27', 'OUTCAR_58', 'OUTCAR_59', 'OUTCAR_18', 'OUTCAR_8', 'OUTCAR_9']
NbMoTaW_set/valid/OUTCAR_28
NbMoTaW_set/valid/OUTCAR_27
NbMoTaW_set/valid/OUTCAR_58
NbMoTaW_set/valid/OUTCAR_59
NbMoTaW_set/valid/OUTCAR_18
NbMoTaW_set/valid/OUTCAR_8
NbMoTaW_set/valid/OUTCAR_9

```

Обычно для 4ёх-компонентной системы необходимо порядка 200-300 атомных конфигураций, но в данном наборе представлены только отобранные в ходе моделирования методом Монте-Карло, репрезентативные конфигурации, поэтому хватило порядка 50 конфигураций.

In [32]: rg

Out[32]: PotLRP_Regression(PotLRP(9 neighbors, Nb-Mo-Ta-W), 42 train terms, 7 valid terms)

3. Ниже сохраняем данные для обучения. Переходим в терминал и для запуска обучения запускаем команду "sbatch -N 1 -n 1 run_train.sh". В силу того, что параллельный запуск на кластере сейчас не возможен, то обучение длится порядка 45 минут. Идем пить чай ;)

```
In [33]: with open('nb_mo_ta_w_train_task.json','w') as f:
        f.write(rg.to_json())

In [34]: {"train error":np.sqrt(rg.TrainLoss()), "valid error": np.sqrt(rg.ValidLoss())}

Out[34]: {'train error': 11.514614144351192, 'valid error': 11.525995778598034}
```

4. Загрузим наш обученный в пункте 3 потенциал (проверьте, что потенциал успешно обучился в файле slurm-номер_задачи.out)

Конец должен выглядеть примерно так:"train error: 0.000184579 valid error: 0.0013636"

```
In [ ]:

In [35]: with open('NbMoTaW_trained.json') as f:
        pot_orig = PotLRP.from_json(f.read())
        pot_orig

Out[35]: PotLRP(9 neighbors, Nb-Mo-Ta-W)

In [36]: #convert to full tensor to make calculations fast
        pot = pot_orig.to_full_tensor()
```

5. Далее, как было в примере, показанном на семинаре для VCoNi, пожалуйста проведите исследование фазового перехода порядок-беспорядок для экиатомного ОЦК сплава NbMoTaW. Выполните задания и ответьте на следующие вопросы:

- 1) Попробуйте различные размеры моделируемой системы. Как меняются результаты исследования в зависимости от числа атомов в системе?
- 2) Не забывайте, что чем больше атомов, тем больше шагов Монте-Карло необходимо системе для достижения соответствующего распределения. Чем ниже температура, тем меньше шагов "принимается", для низких температур следует также увеличивать число шагов.
- 3) Определите при каких температурах происходит фазовый переход (переходы?). В соответствующем интервале, следует уменьшить шаг по температуре.
- 4) Каким структурам соответствует переход (переходы?), какой порядок наблюдается (как называются такие структуры)?
- 5) При каждом расчете проверяйте, что энтальпия при низких (при высоких) температурах выходит на горизонталь, а значит система достигает равновесия (основного состояния).

Ответы также можно найти в статье <https://www.nature.com/articles/s41524-019-0195-y>

```
In [130... # shape = [6,6,6]
            # lat_obj = unit_lattice
            # cfg = Cfg(lat_obj, shape)

In [131... # np.random.seed(12345)
            # types = [PTABLE_ELEMENTS.index(s) for s in atom_types]
            # elems = [types[0] for i in range(cfg.n_sites//3)] + \
            #           [types[1] for i in range((cfg.n_sites+1)//3)] +\
            #           [types[2] for i in range((cfg.n_sites+1)//3)]
            # cfg.atomic_numbers = np.random.permutation(elems)

In [132... #create cmc simulation
            # CMC_Simulation()
            # cmc = CMC_Simulation(pot,cfg)
            # cmc

In [133... # print(f'Энергия стартовой конфигурации при shape={shape}:', cmc.energy())

In [134... # import time
            # t_start = time.perf_counter()
            # cmc.Run(n_iter = 1000000, temperature = 100000.0)
            # print('Million iterations took %f seconds'%(time.perf_counter() - t_start))

In [135... # [cmc.accepted_exchanges(),cmc.attempted_exchanges()]
```

Проверено различие энергий стартовой конфигурации для разных размеров (shape) и времен расчетов:

- (6, 6, 6): -2480.3998018806637 & 0.813183 seconds
- (9, 9, 9): -8368.481162379772 & 0.834208 seconds
- (12, 12, 12): -19839.39879029697 & 0.859254 seconds


```
In [136... # cmc.Run(n_iter = 4000000, temperature = 100.0)
```

```
In [137... # [cmc.accepted_exchanges(),cmc.attempted_exchanges()]
```

```
In [138... # cmc.sro()
```

```
In [139... # import matplotlib.pyplot as plt
# # NbMoTaW
# nb_occup_prob = cmc.occup_prob()[0] # occupation probability of V
# plt.hist(nb_occup_prob, bins = 20)
# plt.xlabel('Nb concentration')
# plt.show()
# mo_occup_prob = cmc.occup_prob()[1] # occupation probability of V
# plt.hist(mo_occup_prob, bins = 20)
# plt.xlabel('Mo concentration')
# plt.show()
# ta_occup_prob = cmc.occup_prob()[2] # occupation probability of V
# plt.hist(ta_occup_prob, bins = 20)
# plt.xlabel('Ta concentration')
# plt.show()
# w_occup_prob = cmc.occup_prob()[2] # occupation probability of V
# plt.hist(w_occup_prob, bins = 20)
# plt.xlabel('W concentration')
# plt.show()
```

```
In [140... # cmc.energy()
```

```
In [141... # from ase.visualize import view
# view(cmc.cfg.to_ase(),viewer='x3d')
```

```
In [142... # temp_range = [2000,1800,1600,
#                  1400,1200,
#                  1000,900,800,700,650,600,550,
#                  500, 400, 350, 300, 250, 200, 100]
```

```
In [144... # res = []
# sro_nbnb = []
# sro_nbmo = []
# sro_nbta = []
# sro_nbw = []
# en_res = []
# cmc = CMC_Simulation(pot,cfg)
# # NbMoTaW
# for T in temp_range:
#     n_it = 4000000
#     if T < 1000:
#         n_it*=10
#     cmc.Run(n_iter = n_it, temperature = T) # отжиг (burn-in, annealing) (чтобы данные всегда соответствовали текуще
#     cmc.reset_statistics()
#     cmc.Run(n_iter = n_it, temperature = T)
#     res.append(cmc.energy_var()/(( T * 8.617333262e-5)**2 * cfg.n_sites))
#     sro_nbnb.append(cmc.sro()[0][0])
#     sro_nbmo.append(cmc.sro()[0][1])
#     sro_nbta.append(cmc.sro()[0][2])
#     sro_nbw.append(cmc.sro()[0][3])
#     en_res.append(cmc.energy_mean())
```

```
In [145... # print(f'При shape={shape}')
# plt.plot(temp_range,en_res)
# plt.xlabel('Temperature (K)')
# plt.ylabel('Enthalpy,eV');
```

```
In [146... # print(f'При shape={shape}')
# plt.plot(temp_range,res)
# plt.xlabel('Temperature (K)')
# plt.ylabel('Heat capacity (kB / atom)');
```

```
In [147... # print(f'При shape={shape}')
# plt.plot(temp_range,sro_nbnb, label = 'Nb-Nb')
# plt.plot(temp_range,sro_nbmo, label = 'Nb-Mo')
# plt.plot(temp_range,sro_nbta, label = 'Nb-Ta')
# plt.plot(temp_range,sro_nbw, label = 'Nb-W')
# plt.legend()
# plt.xlabel('Temperature (K)')
# plt.ylabel('Short-range order');
```

```
In [ ]:
```

```
In [129... shapes = [
    [6, 6, 6],
    [9, 9, 9],
    [12, 12, 12]
]

ns_it = [
    2000000,
    3000000,
    4000000
```

```

]

for shape_, n_it_ in zip(shapes, ns_it):
    shape = shape_
    lat_obj = unit_lattice
    cfg = Cfg(lat_obj, shape)

    np.random.seed(12345)
    types = [PTABLE_ELEMENTS.index(s) for s in atom_types]
    elems = [types[0] for i in range(cfg.n_sites//3)] + \
            [types[1] for i in range((cfg.n_sites+1)//3)] + \
            [types[2] for i in range((cfg.n_sites+1)//3)]
    cfg.atomic_numbers = np.random.permutation(elems)

    CMC_Simulation()
    cmc = CMC_Simulation(pot, cfg)

    print(f'Энергия стартовой конфигурации при shape={shape}:', cmc.energy())

    temp_range = [2000, 1800, 1600,
                  1400, 1200,
                  1000, 900, 800, 700, 650, 600, 550,
                  500, 400, 350, 300, 250, 200, 100]

    res = []
    sro_nbnb = []
    sro_nbmo = []
    sro_nbta = []
    sro_nbw = []
    en_res = []
    cmc = CMC_Simulation(pot, cfg)
    # NbMoTaW
    for T in temp_range:
        n_it = n_it_
        if T < 1000:
            n_it *= 10
        cmc.Run(n_iter = n_it, temperature = T) # отжиг (burn-in, annealing) (чтобы данные всегда соответствовали теку
        cmc.reset_statistics()
        cmc.Run(n_iter = n_it, temperature = T)
        res.append(cmc.energy_var() / (T * 8.617333262e-5)**2 * cfg.n_sites))
        sro_nbnb.append(cmc.sro()[0][0])
        sro_nbmo.append(cmc.sro()[0][1])
        sro_nbta.append(cmc.sro()[0][2])
        sro_nbw.append(cmc.sro()[0][3])
        en_res.append(cmc.energy_mean())

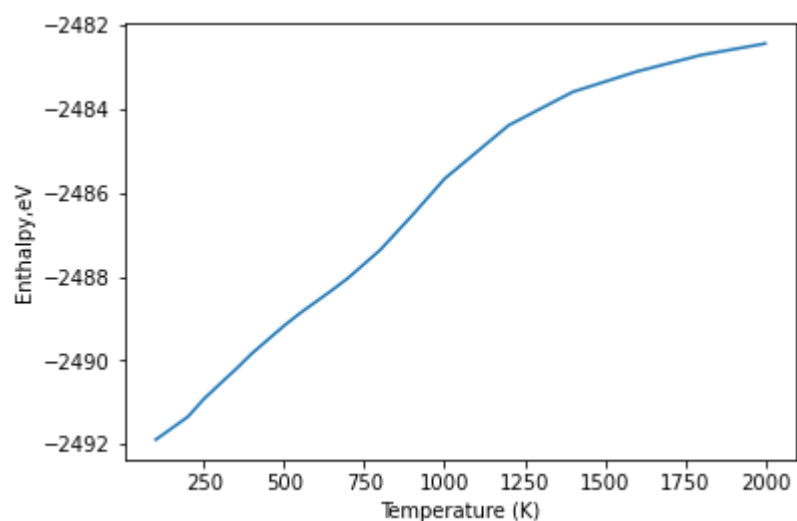
    print(f'При shape={shape}')
    plt.plot(temp_range, en_res)
    plt.xlabel('Temperature (K)')
    plt.ylabel('Enthalpy, eV')
    plt.show()

    print(f'При shape={shape}')
    plt.plot(temp_range, res)
    plt.xlabel('Temperature (K)')
    plt.ylabel('Heat capacity (kB / atom)')
    plt.show()

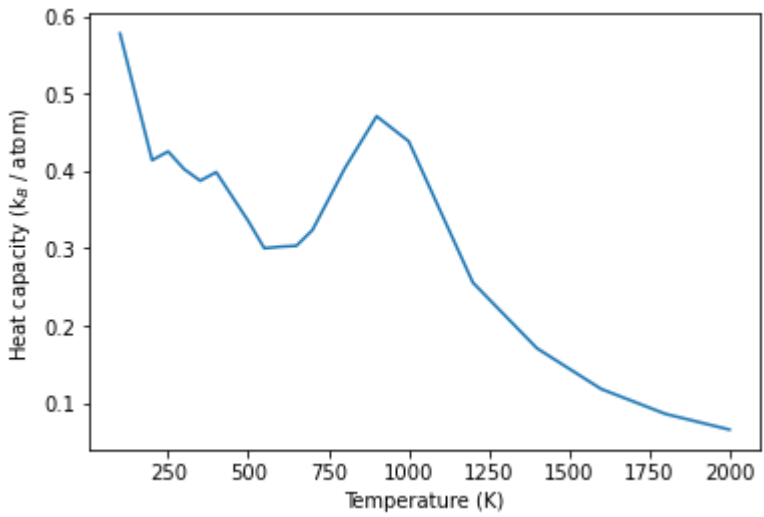
    print(f'При shape={shape}')
    plt.plot(temp_range, sro_nbnb, label = 'Nb-Nb')
    plt.plot(temp_range, sro_nbmo, label = 'Nb-Mo')
    plt.plot(temp_range, sro_nbta, label = 'Nb-Ta')
    plt.plot(temp_range, sro_nbw, label = 'Nb-W')
    plt.legend()
    plt.xlabel('Temperature (K)')
    plt.ylabel('Short-range order')
    plt.show()

```

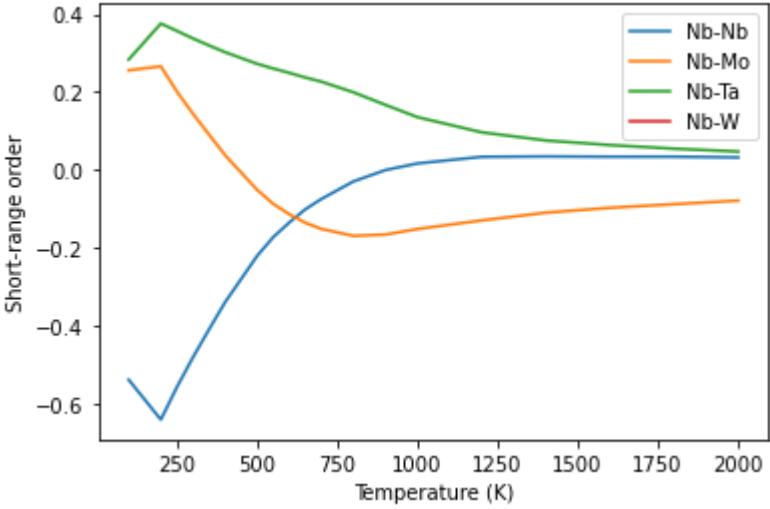
Энергия стартовой конфигурации при shape=[6, 6, 6]: -2480.3998018806637
 При shape=[6, 6, 6]



При shape=[6, 6, 6]

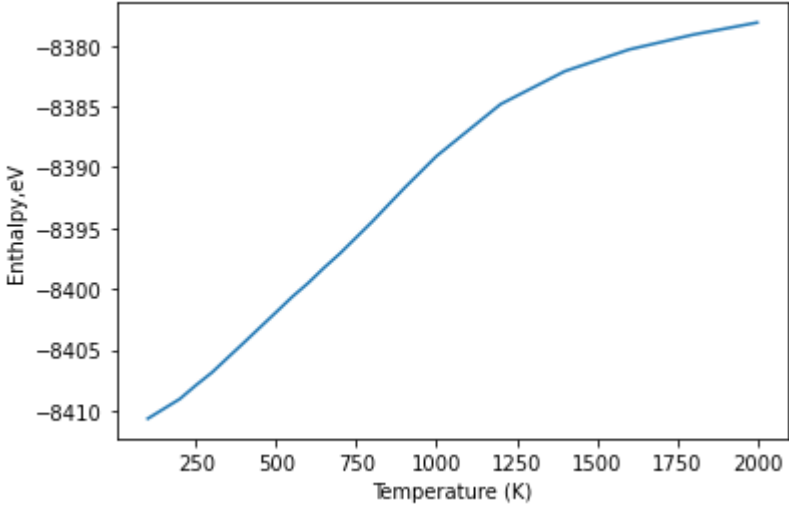


При shape=[6, 6, 6]

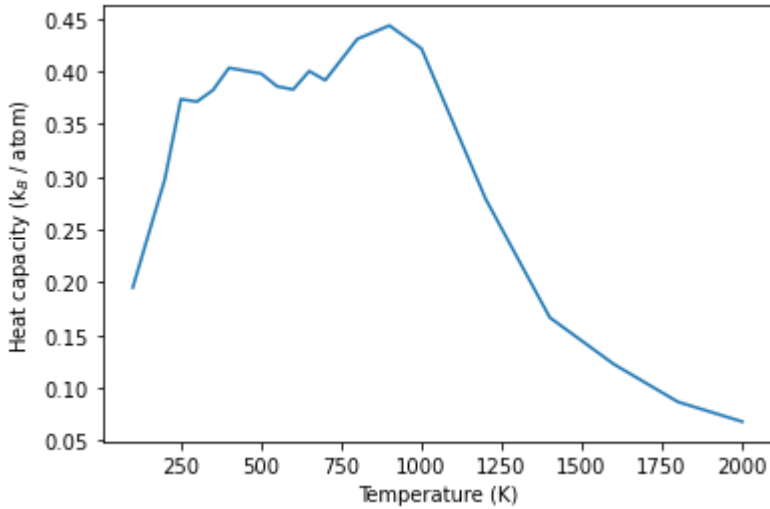


Энергия стартовой конфигурации при shape=[9, 9, 9]: -8368.481162379772

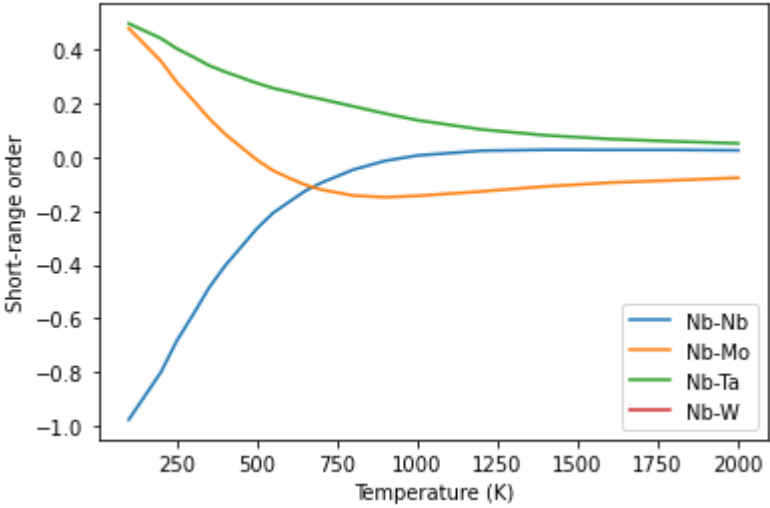
При shape=[9, 9, 9]



При shape=[9, 9, 9]

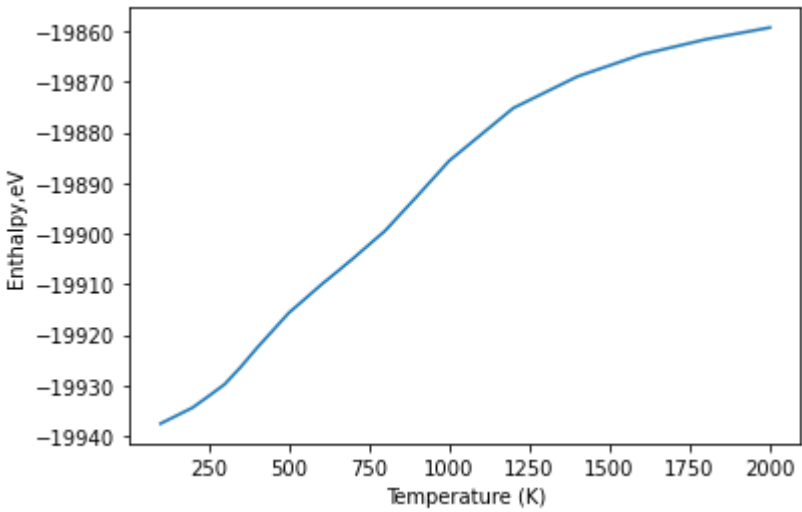


При shape=[9, 9, 9]

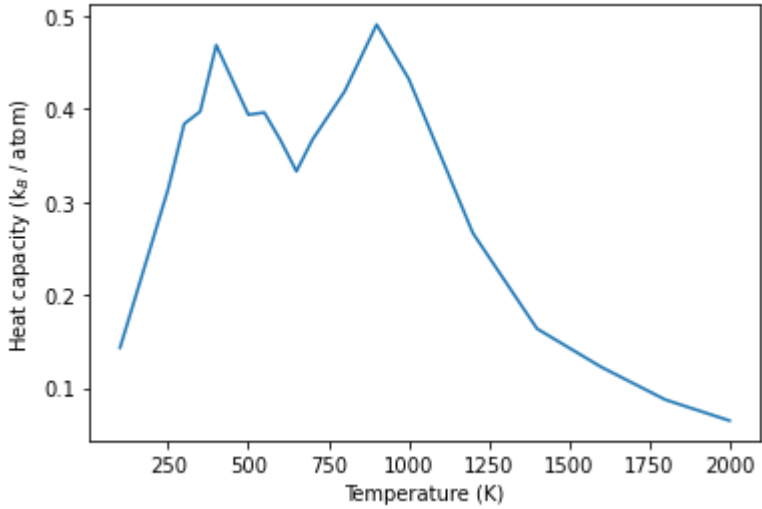


Энергия стартовой конфигурации при shape=[12, 12, 12]: -19839.39879029697

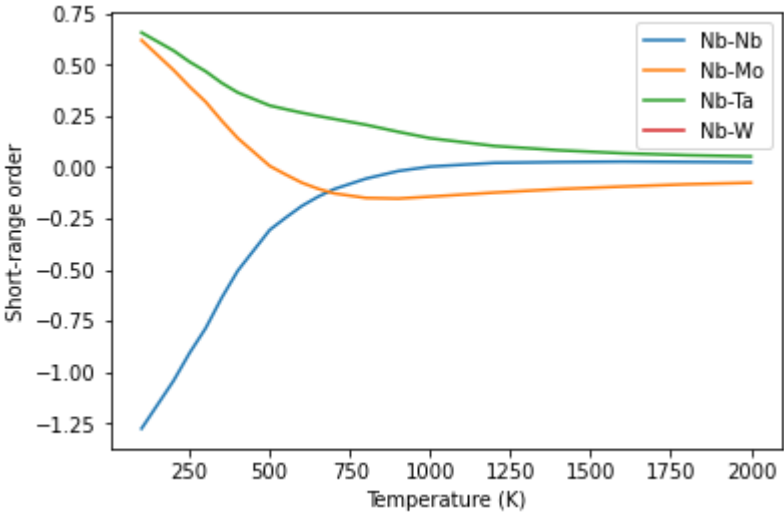
При shape=[12, 12, 12]



При shape=[12, 12, 12]



При shape=[12, 12, 12]



Все 3 запуска показывают, что есть фазовые переходы в районе 300K и 800K, что подтверждается в статье. Энтальпия в расчетах начинает заворачивать в горизонталь.

Начиная с ~800K система приходит к фазе твердого раствора, до этого проходит через некоторые упорядоченные фазы.

Увеличение структуры приводит к улучшению статистической точности метода, но требует значительно большего времени расчетов.

In []: